

## کنترل پیچش ساختمان‌های یک طبقه‌ی نامتقارن جرمی توسط میراگرهای اصطکاکی

جمال الدین بروزی (دانشجوی کارشناسی ارشد)

عبدالرؤضه سروقدمدم \* (استادیار)

بزوہشگاه بین‌المللی زلزله‌شناسی و مهندسی زلزله

مطالعات گذشته حاکی از عملکرد مثبت میراگرهای اصطکاکی در کنترل پیچش سازه‌های نامتقارن است. هدف از این مطالعه تعیین پارامترهای مؤثر و مقدار آن‌ها در کنترل پیچش سازه‌ی نامتقارن جرمی توسط میراگرهای اصطکاکی است. برای این منظور ساختمان‌های فولادی براساس یک مدل مقاومت پایه و به‌ازای خروج از مرکزیت های مختلف جرمی، توزیع‌های مختلف میراگر و مشخصات میراگر اصطکاکی و مهاربندهای متصل به میراگر اصطکاکی توسط نرم‌افزار OpenSees مدل شده و مورد تحلیل قرار گرفته‌اند. پاسخ‌های حاصل از ساختمان مججهز به میراگر برای حالات مختلف توزیع مقایسه شده‌اند و پارامترهای مؤثر و مقدار آن‌ها در رفتار نظری حالت بهینه‌ی وضعیت قرارگیری میراگرها، باز لغزشی بهینه‌ی میراگر اصطکاکی، مهاربند متصل به میراگر اصطکاکی مورد مطالعه قرار گرفته است. در نهایت می‌توان نتیجه گرفت چنانچه پارامترهای ذکر شده در حالت بهینه در سازه‌ی نامتقارن مورد استفاده قرار گیرد، میراگرهای اصطکاکی توانایی کنترل پیچش ضعیف و قوی سازه‌های نامتقارن را دارند.

a.borzouie@iies.ac.ir  
a.sarvghad.moghadam@gmail.com

وازگان کلیدی: پیچش سازه، ساختمان نامتقارن، استهلاک انرژی، میراگر اصطکاکی، خروج از مرکزیت جرمی.

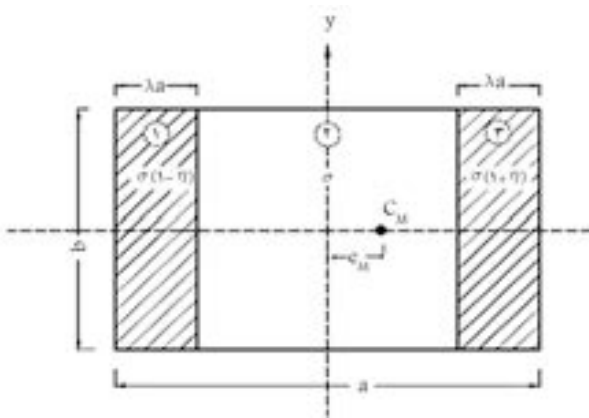
### ۱. مقدمه

اتصالات پیچ دار و شیاردار مبتنی بر استهلاک انرژی بین ورق‌های فولادی معرفی شد.<sup>[۱]</sup> در سال ۲۰۰۰ نوع جدیدی از میراگر اصطکاکی با عملکرد مبتنی بر اصطکاک حاصل از دوران مهاربند در قسمت اتصال معرفی شد.<sup>[۲]</sup> سازه‌های مججهز به میراگرهای اصطکاکی به دلیل سختی حاصل از مهاربند تا قبل از لغزش در میراگرهای اصطکاکی واستهلاک انرژی بعد از آن، در زلزله‌های شدید عملکرد مناسبی نشان داده‌اند. با معرفی میراگرهای اصطکاکی مختلف، مطالعه‌ی عملکرد و اصول طراحی سازه‌ی مججهز به میراگر اصطکاکی گسترش یافت، در سال ۱۹۹۳ محققین به تبیین میرایی بهینه برای یک سازه پرداختند.<sup>[۳]</sup> در سال ۱۹۹۳ نیز روشی برای تخمین سریع بار لغزشی میراگرهای اصطکاکی ارائه شد.<sup>[۴]</sup> پس از آن در سال ۲۰۰۰ مطالعاتی در زمینه‌ی طراحی سازه‌های مججهز به میراگرهای اصطکاکی، با استفاده از روش بار جانبی انجام شد.<sup>[۵]</sup> در ادامه محققین روشی برای طراحی قاب‌های مهاربندی شده به وسیله‌ی میراگرهای اصطکاکی براساس رکوردهای مختلف زلزله ارائه کردند.<sup>[۶]</sup> همچنین در سال ۲۰۰۶ روشی برای بهسازی سازه‌های مججهز به میراگر اصطکاکی براساس جابه‌جایی طبقه‌ی آخر مطرح شد.<sup>[۷]</sup> کاربرد میراگر اصطکاکی برای کنترل پیچش سازه‌ی نامتقارن نیز مورد توجه تعدادی از محققین بوده است. در سال‌های ۱۹۹۱ و ۲۰۰۰ مطالعاتی در زمینه‌ی

نتایج حاصل از زلزله‌های گذشته نشان از تمرکز تغییر شکل‌های خمیری و غیر خمیری در تعدادی از اعضای سازه‌ی نامتقارن دارد. راه حل آینه‌های برای بهبود عملکرد سازه‌های نامتقارن مبتنی بر تغییر سختی و مقاومت اعضای سازه‌ی برای افزایش ظرفیت آن در برابر نیروهای حاصل از پیچش در زلزله است.<sup>[۸]</sup> با توجه به تمرکز تغییر شکل‌ها در لبه‌ی نرم، اعضای واقع در این لبه زودتر به تسلیم می‌رسند و این باعث افزایش خروج از مرکزیت سختی و مقاومت به سمت لبه‌ی سخت می‌شود. بنابراین در زلزله‌ها از اعتیار روش فوق کاسته می‌شود. لبی از دیافراگم که مرکز جرم بین آن لبه و مرکز دوران قرار دارد به عنوان «لبه‌ی نرم» و لبه‌ی مقابل به عنوان «لبه‌ی سخت» نام‌گذاری می‌شود. اما روش دیگر، استفاده از مستهلک‌گشته‌های انرژی — نظیر میراگرهای اصطکاکی — برای تعادل پیچشی در سازه‌های نامتقارن است.

بعد از معرفی اولین میراگر در سال ۱۹۸۲، ساخت انواع میراگرهای اصطکاکی و کاربرد آن‌ها در بهبود عملکرد سازه گسترش روزافزون یافت.<sup>[۹]</sup> در سال ۱۹۸۹

\* نویسنده مسئول  
تاریخ: دریافت ۱۴، اصلاحیه ۱۱، ۱۳۸۹/۵/۱۴، پذیرش ۲۷، ۱۳۸۹/۱۰/۱۰.



شکل ۲. پلان سازه با خروج از مرکزیت جرمی.

می‌شود نخست جرم سازه به طور یکنواخت با چگالی سطحی  $\sigma$  در پلان توزیع شده است و سپس چگالی سطحی نواری با عرض مشخص در سمت راست سازه افزایش یافته و چگالی سطحی نوار در سمت مقابل آن به همان میزان کاهش می‌یابد. به‌گونه‌یی که جرم کل پلان ثابت باقی می‌ماند. پلان سازه به ابعاد  $a$  در جهت  $x$  و  $b$  در جهت  $y$  مطابق شکل ۲ با چگالی جرمی  $\sigma$  مدنظر است.

مبدأ مختصات در مرکز سطح در نظر گرفته شده، و مقدار چگالی سطحی در نواری به عرض  $\lambda a$  در سمت راست سازه  $\sigma = \sigma(1 + \eta)$  در نوار افزایش  $\sigma = \sigma(1 - \eta)$  در سمت مقابل آن برابر است. در این روابط عبارت  $\eta = b/a$  فرض می‌شود. در این حالت مقدار خروج از مرکزیت نرمالیزه شده نسبت به مرکز مختصات مطابق معادله ۱ است. بیشینه خروج از مرکزیت جرمی با مشتق‌گیری از معادله ۱ به ازای  $\eta = \pm 1$  و  $e_m = \pm 0.25a$  برابر است. مدل‌های نامتقارن براساس خروج از مرکزیت جرمی در جهت  $-X$  ایجاد شده‌اند. مشخصات مدل‌های مورد استفاده در جدول ۱ آمده است. در این جدول  $e_m$  خروج از مرکزیت جرمی،  $T_y$  زمان تناوب جانبی،  $T_\theta$  زمان تناوب یچشی و  $T_1, T_2$  زمان تناوب اول و دوم سازه است. با مقایسه  $T_y$  و  $T_\theta$  در می‌باییم که تمام مدل‌ها سخت پیچشی‌اند.

مقدار ممان اینرسی حول مرکز جرم ثانویه مطابق معادله ۲ و ۳ است:

$$e_m = \frac{1}{a} \left( \frac{\sigma(1 + \eta)\lambda ab \times \left(\frac{a}{\tau} - \frac{\lambda a}{\tau}\right) + \sigma(1 - \eta)\lambda ab \times \left(-\frac{a}{\tau} + \frac{\lambda a}{\tau}\right)}{\sigma ab} \right) = \eta\lambda(1 - \lambda) \quad (1)$$

$$I_{CM} = I_{\text{CM}} + I_{\text{r CM}} + I_{\text{r r CM}} \quad (2)$$

$$I_{CM} = M_1 \left[ \frac{(\lambda^2 a^2 + b^2)}{12} + \left( \frac{a}{2} - \frac{\lambda a}{2} + ae_m \right)^2 \right] + M_r \left[ \frac{(a - 2\lambda a)^2 + b^2}{12} + a^2 e_m^2 \right] + M_{rr} \left[ \frac{(\lambda^2 a^2 + b^2)}{12} + \left( \frac{a}{2} - \frac{\lambda a}{2} - ae_m \right)^2 \right] \quad (3)$$

که در آن  $I_{\text{CM}}$  و  $I_{\text{r CM}}$  به ترتیب ممان اینرسی جرمی بخش‌های ۱، ۲ و ۳ است. شکل ۳ تغییرات  $I_{CM}$  را بر حسب  $e_m$  برای سازه‌ی مورد مطالعه نشان می‌دهد. یادآور می‌شود که  $I_{CM}$  مستقل از  $\lambda$  است.

کنترل پیچش سازه‌ی نامتقارن بهوسیله‌ی میراگر اصطکاکی انجام شد که نتایج آن منجر به ارائه مکان بهینه‌ی میراگر و بار لغزشی بهینه شد.<sup>[۱۱]</sup> در سال ۲۰۰۵ نیز مطالعاتی پیرامون کنترل پیچش سازه‌ی نامتقارن با استفاده از میراگرهای اصطکاکی انجام شد که به معرفی مرکز تعادل تجربی به عنوان شاخص مناسب عملکرد سازه‌ی مجهز به میراگر اصطکاکی و بررسی مکان بهینه‌ی مرکز تعادل تجربی نامتقارن، که پیش‌تر در زمینه‌ی سازه‌های با خروج از مرکزیت سختی گزارش شده، انجام شده است.<sup>[۱۲]</sup> در این مطالعه عملکرد میراگرهای اصطکاکی و مهاربندهای متصل به میراگرهای اصطکاکی در تعادل پیچشی سازه‌های نامتقارن جرمی مورد بررسی قرار گرفته است. برای این منظور میراگرهای اصطکاکی با بارهای لغزشی متفاوت، چیدمان‌های مختلف، و سختی مهاربندهای مختلف متصل به میراگرهای اصطکاکی -- به منظور کنترل پیچش سازه‌ی نامتقارن با خروج از مرکزیت‌های جرمی مختلف -- اضافه شده و توسط برنامه‌ی OpenSees تحلیل تاریخچه‌ی زمانی غیرخطی تحت هفت زلزله‌ی مختلف بر روی آنها انجام شده است.<sup>[۱۳]</sup> در نهایت بار لغزشی و مرکز بار لغزشی بهینه‌ی میراگرهای اصطکاکی و سختی بهینه‌ی مهاربندهای متصل به میراگرهای اصطکاکی برای تعادل پیچشی ضعیف و قوی سازه با خروج از مرکزیت‌های جرمی متفاوت مورد بررسی قرار گرفته است.

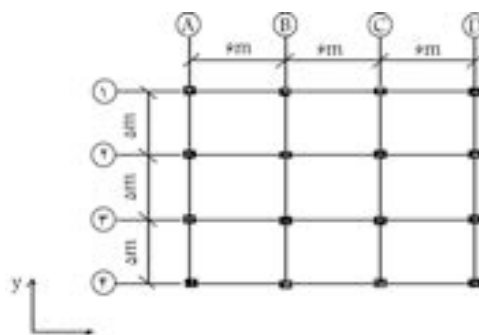
## ۲. مدل‌های تحلیلی

### ۱.۲. مدل نامتقارن پایه

در این مطالعه سازه‌ی فولادی قاب خمشی با مهاربند مجهز به میراگر اصطکاکی در طبقه‌یی به ارتفاع  $3/3$  متر که در هر راستا ۳ دهانه دارد مورد بررسی قرار گرفته است (شکل ۱). سازه‌ی اولیه به صورت قاب خمشی متوسط براساس آین نامه‌ی فولاد ایران و آین نامه‌ی ۲۸۰ زلزله‌ی ایران برای حالت متقاضی در منطقه‌یی با پهنه‌ی خطر نسبی سیار زیاد ( $A = ۰, ۳۵ \text{ g}$ ) و خاک سخت ( $T_s = ۰, ۵ \text{ sec}$ ) طراحی شده است.<sup>[۱۴]</sup> در این طراحی از ضوابط کاهش برش پایه برای سیستم‌های مجهز به میراگر براساس آین نامه‌ی FEMA ۴۵۰ (۲۰۰۳) استفاده شده است.<sup>[۱۵]</sup>

### ۲.۱. مدل‌های نامتقارن

به منظور ایجاد خروج از مرکزیت جرمی، جایه‌جایی مرکز جرم سازه نسبت به مرکز سطح ضروری است. در این تحقیق برای ایجاد نامتقارنی جرمی حول محور  $y$  فرض



شکل ۱. پلان سازه‌ی مورد مطالعه.

جدول ۱. مشخصات مدل‌های ۱ تا ۶.

$T_1$ (sec)	$T_1$ (sec)	$T_\theta$ (sec) (غیرهمبسته)	$T_y$ (sec) (غیرهمبسته)	مقاومت جاری شدن (ton)	$\%e_m$	شماره مدل
۰,۲۹۶	۰,۳۸۹	۰,۲۹۸	۰,۳۸۴	۱۵۲,۸	-۵,۰	۱
۰,۲۸۷	۰,۴۰۳	۰,۲۹۵	۰,۳۸۴	۱۵۲,۸	-۱۰,۰	۲
۰,۲۷۷	۰,۴۲۱	۰,۲۹	۰,۳۸۴	۱۵۲,۸	-۱۵,۰	۳
۰,۲۶۶	۰,۴۴۳	۰,۲۸۴	۰,۳۸۴	۱۵۲,۸	-۲۰,۰	۴
۰,۲۵۶	۰,۴۶۸	۰,۲۷۷	۰,۳۸۴	۱۵۲,۸	-۲۵,۰	۵

خروج از مرکزیت بار لغزشی، چهار روش برای استقرار میراگرهای اصطکاکی در سازه‌ی نشان داده شده در شکل ۱ می‌توان متصور شد:

- الف) برای خروج از مرکزیت بار لغزشی  $50\%$  که در این حالت تنها قاب در راستای  $D$  مجهز به میراگر اصطکاکی است؛
- ب) برای خروج از مرکزیت بار لغزشی  $50\%$  تا  $38\%$  که در این حالت قاب‌های در راستای  $C, D$  مجهز به میراگر اصطکاکی است؛
- ج) برای خروج از مرکزیت بار لغزشی  $27\%$  تا  $38\%$  که در این حالت قاب‌های در راستای  $B, C, D$  مجهز به میراگر اصطکاکی است؛
- د) برای خروج از مرکزیت بار لغزشی  $0\%$  تا  $38\%$  که در این حالت قاب‌های در راستای  $A, B, C, D$  مجهز به میراگر اصطکاکی است.

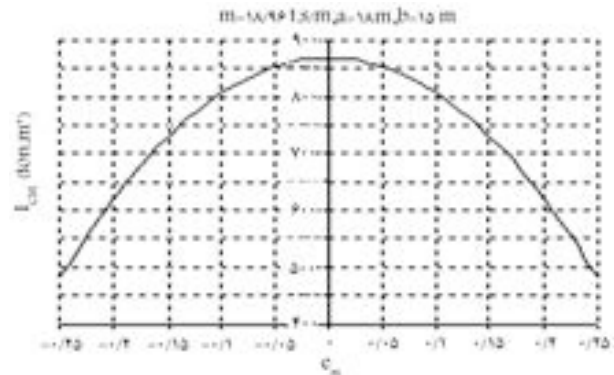
به منظور بررسی عملکرد میراگر اصطکاکی، مرکز بار لغزشی بین  $+0,5D \leq e_d \leq +0,5D - 50\%$  تغییر می‌کند. مرکز بار لغزشی در هر مرحله برابر است با:

$$e_d = \frac{1}{\sum SL_i} \left( \sum_{i=1}^4 SL_i \times X_i \right) \quad (4)$$

که در آن  $SL$  برابر بار لغزشی میراگر اصطکاکی (تن) و  $X$  فاصله‌ی میراگر اصطکاکی (متر) و مرکز سطح و  $D$  بعد سازه (متر) در جهت X است. بنابراین توزیع میراگرهای اصطکاکی مطابق شکل ۴ در نظر گرفته می‌شود. با توجه به شکل ۴ در هر مرحله، بار لغزشی میراگر ۱ برابر درصدی از مقاومت جانبی کل سازه اختصاص می‌یابد و در مرحله‌ی بعد به ازای  $50D \leq e_d \leq +0,5D - 50\%$  با گام‌های  $0,5D$  تغییر می‌یابد. مرکز بار لغزشی و درنتیجه بار لغزشی میراگرهای شماره‌ی ۲، ۳ و ۴ تغییر می‌یابد. به عنوان مثال در حالت خروج از مرکزیت بار لغزشی  $+4^{\circ}$  متر که در قسمت IV شکل ۴ قرار می‌گیرد، تمام دهانه‌ها مجهز به میراگر اصطکاکی است و بافرض توزیع خطی بار لغزشی بین میراگرهای اصطکاکی و بار لغزشی پیشینه‌ی معادل ۱۰ تن، توزیع بار لغزشی بین میراگرهای اصطکاکی مطابق شکل ۵ است.

#### ۴.۲. مدل‌سازی میراگر اصطکاکی

برای مدل‌سازی میراگر اصطکاکی، لازم است میراگر اصطکاکی و مهاربند به صورت یک المان ترکیبی در نظر گرفته شود. تا قبل از لغزش میراگر اصطکاکی، سختی المان کل برابر سختی مهاربند است. بعد از لغزش، سختی مجموع صفر است. همچنین با توجه به این که بار لغزشی در میراگر در بیشترین حالت کمتر از بار لغزشی بین میراگرهای اصطکاکی.

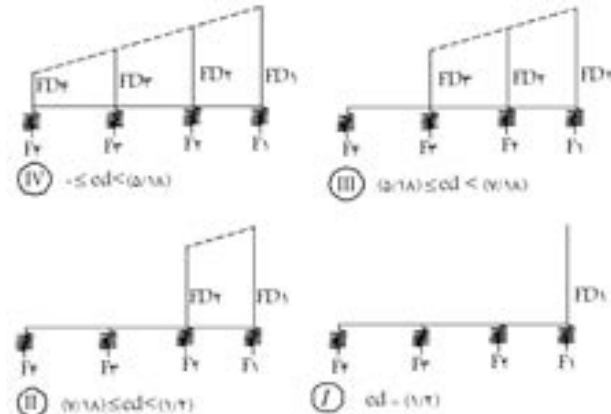


شکل ۳. منحنی تغییرات  $I_{CM}$  بر حسب  $e_m$ .

#### ۴.۳. توزیع میراگرهای اصطکاکی

میراگرهای اصطکاکی با استقرار در مهاربندها راستای Y به سیستم اضافه شده‌اند. پیش‌فرض‌های توزیع میراگرهای بین مدل‌های مختلف عبارت است از:

- با گذشت زمان، تغییرات دما و اثرات محیطی باعث تغییر در مقدار بار لغزشی به میزان حداقل  $15\% \pm$  می‌شود. بنابراین بار لغزشی نهایی میراگرهای اصطکاکی  $15\%$  کمتر از بار کمانشی مهاربند فرض می‌شود.
- برای اعمال خروج از مرکزیت بار لغزشی، توزیع بار لغزشی بین میراگرهای اصطکاکی مطابق شکل ۴ به صورت خطی فرض شده است. برابر مقدار



شکل ۴. توزیع میراگرهای مکان مرکز بار لغزشی با فرض توزیع خطی بار لغزشی بین میراگرهای اصطکاکی.

نوع دور از گسل<sup>۱</sup> بوده و بر روی خاک سخت نوع B (طبق مشخصات NEHRP) برداشت شده‌اند.

### ۳. نتایج تحلیل

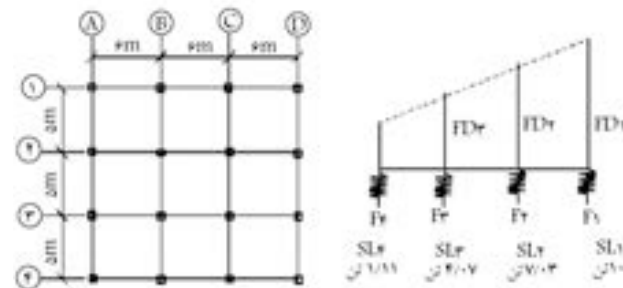
برای بررسی عملکرد میراگر اصطکاکی، مدل‌های ۱ تا ۵ طبق جدول ۱ مورد بررسی قرار گرفته است. برای هر مدل مرکز بار لغزشی از  $-9 + 9$  متر تا  $+9$  متر (۱۹ نقطه) تعییر می‌کند، و بار لغزشی میراگر ۱ (بیشترین بار لغزشی در هر مرحله) برابر نسبتی از مقاومت جانبی کل سازه، و در هر مدل مهاربند با سه نسبت سختی مهاربند به قاب در نظر گرفته شده است. به منظور بررسی تعادل پیچشی ضعیف در سازه‌ی نامترنام، اختلاف بیشینه تغییر مکان لبه‌ی نرم و سخت در حالت سازه‌ی مجهز به میراگر اصطکاکی نسبت به سازه‌ی بدون میراگر اصطکاکی (معادله ۵) مورد مطالعه قرار گرفت؛ همچنین برای بررسی تعادل پیچشی قوی، دوران مرکز هندسی در حالت سازه‌ی مجهز به میراگر اصطکاکی نسبت به سازه‌ی بدون میراگر اصطکاکی (معادله ۶) مورد تحلیل و بررسی قرار گرفته است. تغییر مکان  $u_{right}$  در خروج از مرکز سختی ساخت  $u_{left}$  تغییر مکان لبه‌ی نرم و  $\theta_{cm}$  دوران مرکز هندسی است. تحلیل‌ها در مورد هفت زلزله انجام شده و نتایج حاصله میانگین حاصل از این هفت زلزله است.

در شکل ۷ پاسخ بیشینه سازه (اختلاف تغییر مکان دولبه و دوران مرکز سطح) برای مقادیر مختلف بار لغزشی و سختی مهاربند مختلف در خروج از مرکزیت جرمی  $\% ۰.۵$  تا  $\% ۲.۵$  نشان داده شده است. پاسخ بیشینه عبارت است از کمترین پاسخ سازه برای بار لغزشی، سختی مهاربند و خروج از مرکزیت جرمی ثابت برای مرکز بار لغزشی مختلف ( $+9m$ ،  $-9m$ ) است.

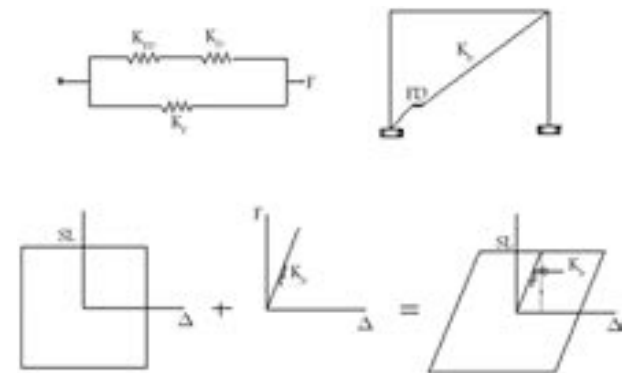
$$RATIO 1 = \frac{(|E(u_{left})_{max}| - |E(u_{right})|_{max})}{(|E(u_{left})_{max}| - |E(u_{right})|_{max})}_{with FD} \quad (5)$$

$$RATIO 2 = \frac{(\theta_{cm})_{with FD}}{(\theta_{cm})_{without FD}} \quad (6)$$

با توجه به شکل ۷ مشخص است که در نسبت‌های پایین سختی مهاربند به قاب ( $\frac{K_b}{K_f} = 2$ )، با افزایش بار لغزشی پاسخ سازه کاهش می‌یابد. با افزایش نسبت سختی مهاربند به قاب ( $\frac{K_b}{K_f} = 3$  یا  $4$ ) مفهومی بنام «بار لغزشی بیشینه» و «حد بیشینه بار لغزشی» برای میراگر اصطکاکی تعریف می‌شود. کمترین مقدار پاسخ در بار لغزشی بیشینه به دست می‌آید. چنان‌که مشاهده می‌شود، با افزایش خروج از



شکل ۵. توزیع بار لغزشی بین میراگرهای اصطکاکی با فرض بار لغزشی بیشینه  $10$  تن و خروج از مرکزیت بار لغزشی برابر  $+4$  متر.



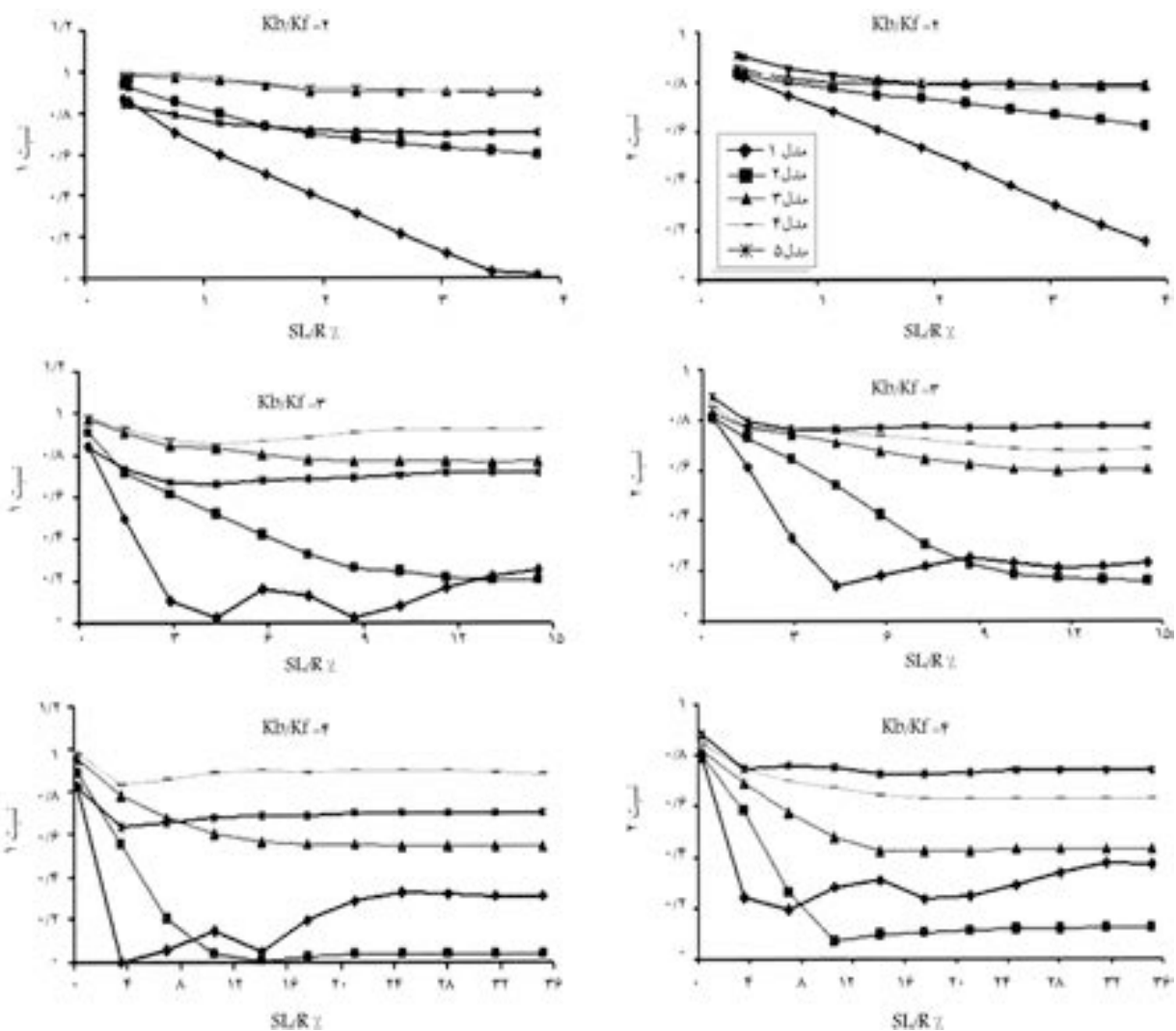
شکل ۶. نحوه‌ی مدل‌سازی المان مجموع مهاربند و میراگر اصطکاکی.

اصطکاکی است. برای مدل‌سازی المان ترکیبی در برنامه‌ی OpenSees از المان خربغا با اختصاص مواد هیستریک برای مدل دوخطی استفاده شده است. برای مدل‌سازی تیرها و ستون‌ها از المان فیبری و فولاد با مقاومت سخت‌شونده استفاده شده است. مدل‌سازی ترکیب میراگر و قاب در شکل ۶ نشان داده شده است.  $K_b$  معرف سختی مهاربند،  $K_f$  سختی قاب،  $P_s$  بار لغزشی میراگر اصطکاکی،  $K_{FD}$  سختی میراگر اصطکاکی برابر بی‌نهایت است.

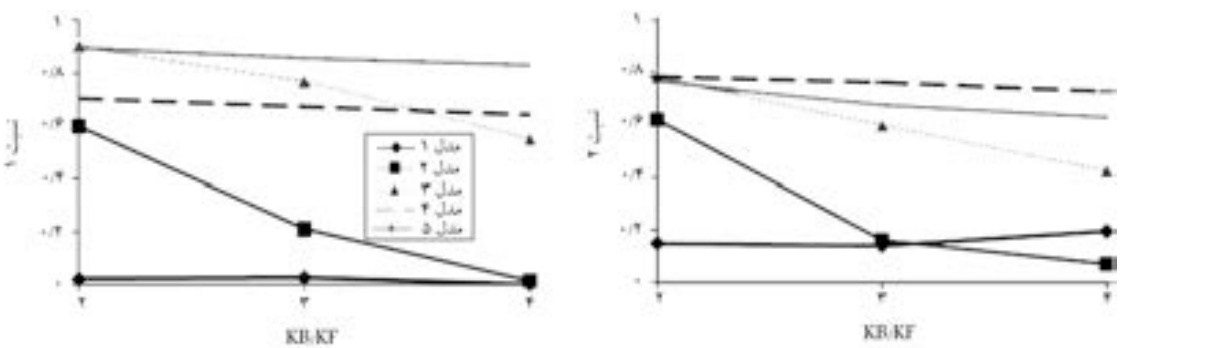
**۲. مشخصات رکورد زلزله‌های مورد استفاده در تحلیل**  
تحلیل تاریخچه‌ی زمانی تحت زلزله‌های جدول ۲ انجام شده، که به شتاب  $0,75g$  هم‌پایه شده‌اند و به مدل‌ها در راستای Y اعمال شده‌اند. تمامی شتاب‌نگاشتها از

جدول ۲. مشخصات زلزله‌های مورد استفاده در تحلیل تاریخچه‌ی زمانی.

شماره	زلزله	سال	برگا	مدت (sec)	PGA (g)	ساختمان	فاصله (km)
۱	چی - چی	۱۹۹۹	۷,۶ m	۳۵	۰,۴۱۳	TCU ۰ ۴۷	۳۳
۲	منجیل	۱۹۹۰	۷,۴ mw	۲۵	۰,۱۸۴	قرزین	۴۹
۳	اصپریال ولی	۱۹۷۹	۶,۵ m	۴۰	۰,۱۶۹	سرورپریتو	۲۶,۵
۴	کرن کانتی	۱۹۵۲	۷,۴ mw	۲۵	۰,۱۷۵	تفت	۴۱
۵	شمال پالم اسپرینگ	۱۹۸۶	۶ m	۲۰	۰,۲۲۸	سن جسپینتو	۳۲
۶	نورتریج	۱۹۹۴	۶,۷ m	۲۰	۰,۲۵۶	کانتی لس آنجلس	۲۵,۴
۷	سن فراناندو	۱۹۷۱	۶,۶ m	۲۰	۰,۳۲۴	کستیک	۲۵



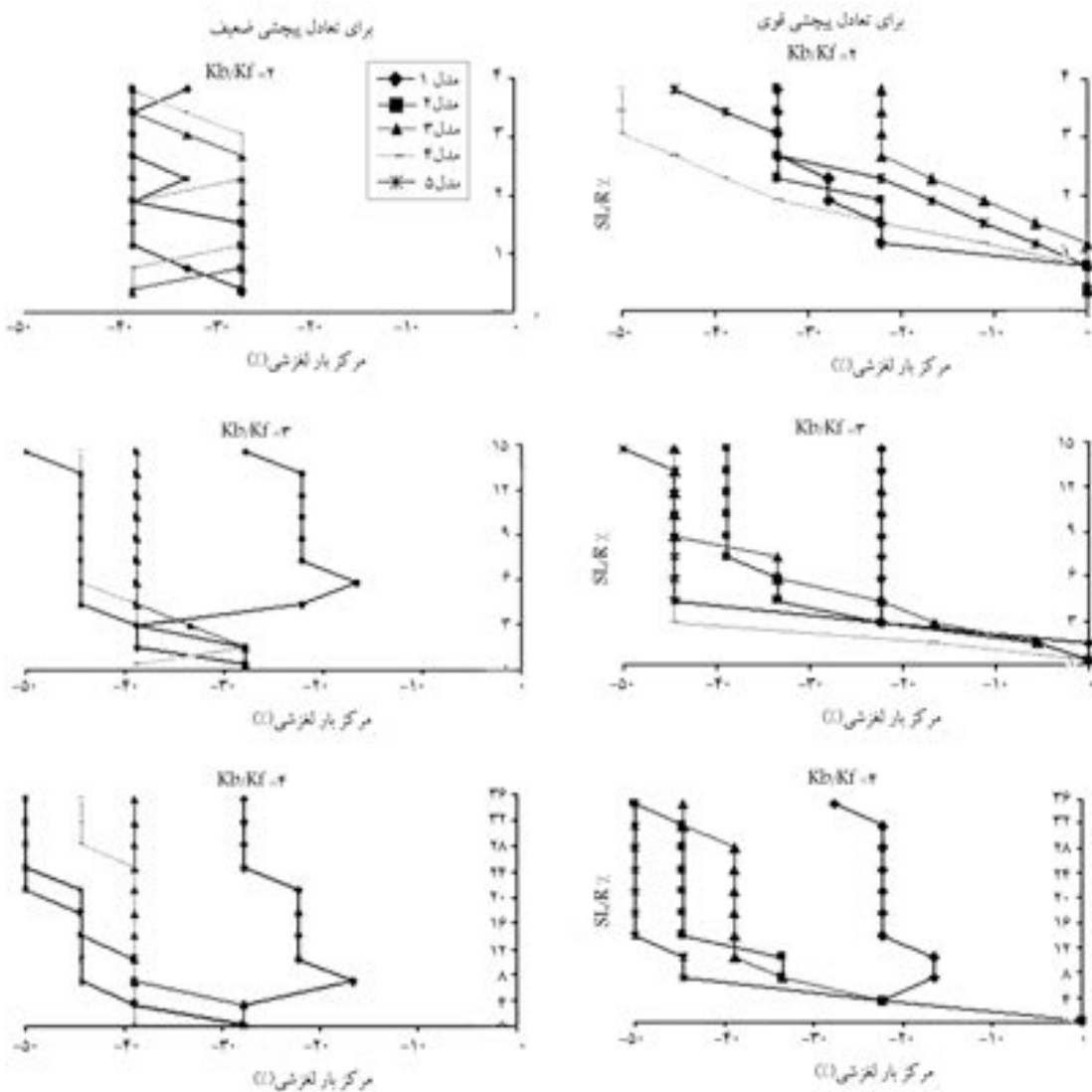
شکل ۷. نمودار بار لغزشی بهینه برای تعادل پیچشی قوی و ضعیف برای مدل های ۱-۵ به ازای نسبت سختی مهاربند به قاب ۳، ۲ و ۰.۴.



شکل ۸. نمودار نسبت سختی مهاربند به قاب بهینه برای تعادل پیچشی قوی و ضعیف برای مدل های ۱-۵.

در شکل ۸ به ازای نسبت سختی مهاربند به قاب ثابت، بهترین پاسخ سازه اختلاف تغییر مکان دولبه و دوران مرکز سطح) در بار لغزشی بهینه، در مدل های دارای خروج از مرکزیت جرمی ۰.۵-۰.۲۵٪ نشان داده شده است. چنان که در شکل ۸ نشان داده شده، برای خروج از مرکزیت های کم ( $e_m \leq 0.5$ ) در صورت انتخاب بار لغزشی و مرکز بار لغزشی بهینه، پاسخ سازه با تغییر سختی

مرکزیت جرمی بار لغزشی بهینه افزایش می یابد. در خروج از مرکزیت های جرمی زیاد، حد بهینه بار لغزشی برابر ۱۰٪ مقاومت جانبی کل سازه است و چنانچه میراگرها در مکان بهینه قرار گرفته باشند، به ازای بارهای لغزشی بعد از این حد اختلاف چندانی در پاسخ سازه مشاهده نمی شود. براساس شکل ۶، نتایج ذکر شده در تعادل پیچشی قوی و تعادل پیچشی ضعیف، هردو، صادق است.



شکل ۹. نمودار مرکز بهینه بار لغزشی بهازی نسبت سختی مهاربند به قاب ۱-۵ برای تعادل پیچشی قوی و ضعیف.

مهاربند تغییر محسوسی نمی‌کند و بهوسیله‌ی مهاربندهای با نسبت سختی کم نیز می‌توان به تعادل پیچشی رسید. اما با افزایش مقدار خروج از مرکزیت جرمی سازه، علاوه بر انتخاب بهینه‌ی مقدار بار لغزشی میراگر اصطکاکی و مرکز بار لغزشی میراگرهای اصطکاکی، افزایش سختی مهاربند باعث افزایش تعادل پیچشی (قوی و ضعیف) در سازه‌ی نامتقارن می‌شود.

مرکز بار لغزشی بهینه بهازی مقداری مختلف خروج از مرکزیت جرمی سازه و سختی‌های مختلف مهاربند در بارهای لغزشی مختلف در شکل ۹ نشان داده شده است. مرکز بار لغزشی در یک سازه با خروج از مرکزیت جرمی ثابت بهازی سختی مهاربند و بار لغزشی میراگر اصطکاکی ثابت از مقدار  $9\text{ متر} \pm 9\text{ متر}$  با گامهای ۱ متر تغییر می‌کند. مرکز بار لغزشی نظیر کمترین مقدار پاسخ سازه در این ۱۹ گام برابر مرکز بهینه‌ی بار لغزشی است.

در شکل ۹ محور افقی مرکز بهینه‌ی بار لغزشی نسبت به بعد سازه در جهت خروج از مرکزیت است. با توجه به این که خروج از مرکزیت جرمی در جهت-X به سازه اعمال شده، مشخص است که مرکز بهینه‌ی بار لغزشی برای تعادل پیچشی قوی و ضعیف همواره در لبه نرم قرار دارد و براساس مقدار بار لغزشی تعیین

#### ۴. نتیجه‌گیری

۱. بار لغزشی، مرکز بار لغزشی، نسبت سختی مهاربند متصل به میراگر اصطکاکی،

۴. مرکز بهینه‌ی بارلغزشی در تمام حالات در لبه نرم قرار دارد.
۵. در تعادل پیچشی قوی و ضعیف برای مقادیر بارلغزشی بالا ( $\frac{S_L}{R} \leq 0.5\%$ ) مرکز بهینه‌ی بارلغزشی با افزایش خروج از مرکزیت جرمی در فاصله‌ی بیشتری نسبت به مرکز هندسی قرار می‌گیرد. همچنین با افزایش بارلغزشی برای خروج از مرکزیت جرمی ثابت مرکز بهینه‌ی بارلغزشی افزایش می‌یابد.
۶. در تعادل پیچشی قوی در بارهای لغزشی پایین ( $\frac{S_L}{R} \leq 0.5\%$ ) مرکز بهینه‌ی بارلغزشی در لبه نرم قرار دارد. همچنین با افزایش بارلغزشی مرکز بهینه‌ی بارلغزشی در فاصله‌ی بیشتری نسبت به مرکز هندسی برای خروج از مرکزیت جرمی ثابت قرار می‌گیرد.
۷. مرکز بهینه‌ی بارلغزشی برای تعادل پیچشی ضعیف به ازای بارهای لغزشی پایین ( $\frac{S_L}{V} \leq 0.5\%$ ) در محدوده‌ی  $30\% \text{ تا } 40\%$  بعد پلان قرار می‌گیرد.

- و مقدار خروج از مرکزیت سازه، پارامترهای مؤثر در کنترل پیچش سازه‌ی نامتعارن جرمی توسط میراگر اصطکاکی است.
۲. مقدار بارلغزشی بهینه با افزایش خروج از مرکزیت جرمی افزایش می‌یابد. برای خروج از مرکزیت‌های جرمی بالا ( $e_m = 0.25\% \text{ تا } 0.20\%$ ) حد بهینه‌ی بارلغزشی مقدار  $10\%$  مقاومت جانبی سازه است که در صورت استقرار میراگرهای در مکان بهینه، به ازای بارهای لغزشی بعد از این حد اختلاف چندانی در پاسخ سازه مشاهده نمی‌شود.
۳. برای تعادل پیچشی در سازه با خروج از مرکزیت‌های جرمی پایین تنها نیاز به تعیین بهینه‌ی بارلغزشی و مرکز بارلغزشی است، اما با افزایش خروج از مرکزیت جرمی نسبت سختی مهاربند متصل به میراگر اصطکاکی به قاب نیز اهمیت می‌یابد.

## پابلوشت

1. far field

## منابع

- De la lera, J.C. and et al. "Torsional balance asymmetric structures with frictional dampers: Analytical results", *Earthquake Engineering and Structural Dynamics*, **34**, pp. 1089-1108 (2005).
- Pall, S. and Marsh, C. "Response of friction damped braced frames", *Journal of Structural Engineering*, **108**(6), pp. 1313-1323 (1982).
- Fitzgerald, T.F. and et al. "Slotted bolted connection in a seismic design for concentrically braced connections", *Earthquake Spectra*, **5**(2), pp.383-391 (1989).
- Mualla, I.H., *Experimental and Computational Evaluation of Novel Friction Damper Device*, PHD Thesis Dept of Structural Engineering and Materials, Technical University of Denmark (2000).
- Scholl, R. "Fundamental design issues for supplemental damping applications" *Earthquake Spectra*, **9**(3), pp.627-636 (1993).
- Cherry, S. and Filiatrault, A. "Seismic response control of buildings using friction dampers", *Earthquake Spectra*, **9**(3), pp.447-466 (1993).
- Yoamin, F.U. and Sheldon, C. "Design of friction damped structures using lateral force procedure", *Earthquake Engineering and Structural Dynamics*, **29**, pp. 989-1010 (2000).
- Levy, R.; Lavan, O. and Rutenberg, A. "Seismic design of friction-damped braced frames based on historical records", *Earthquake Spectra*, **21**(3), pp. 761-778 (2005).
- Kim, J. and Choi, H. "Displacement based design of supplemental dampers for seismic retrofit of a framed structure", *Journal of Structural Engineering*, **132**(6), p.p. 873 (2006).
- Pekau, O. and Grimond, R. "Controlling seismic response of eccentric structures by friction dampers", *Earthquake Engineering and Structural Dynamics*, **20**, pp. 505-521 (1991).
- Pekau, O. and et al. "Improved deployment of friction dampers in asymmetric multistory buildings", 12 WCEE (2000).
- برزویی، جمال الدین؛ منصوری، محمد رضا و سروقد مقدم، عبدالرضا «پارامترهای مؤثر در کنترل پیچش ساختمانهای نامتعارن توسط میراگرهای اصطکاکی»، نشریه‌ی سازه و فولاد (در انتظار چاپ).
- Pacific Earthquake Engineering Research Center, *Open System for Earthquake Engineering Simulation*, (2005). Homepage web site: <http://opensees.berkeley.edu>.
- Permanent Committee for Revising the Standard 2800, Iranian Code of Practice for Seismic Resistant Design of Buildings, Building and Housing Research Centre, Tehran, Iran (1999).
- FEMA, 450, NEHRP Recommended Provisions for New Buildings and Other Structures, Federal Emergency Management Agency, Washington D.C. (2003).
- برزویی، جمال الدین کنترل پیچش سازه‌ی نامتعارن با استفاده از میراگرهای اصطکاکی، پایان‌نامه‌ی کارشناسی ارشد، پژوهشگاه بین‌المللی زلزله‌شناسی و مهندسی زلزله (شهریور ۱۳۸۸).